

# Влияние структурно-нарушенного поверхностного слоя гексагонального кристалла на дисперсию и затухание поверхностных акустических волн Рэлея

© В.В. Косачёв, Ю.Н. Гандурин

Московский инженерно-физический институт (Государственный университет),  
115409 Москва, Россия

E-mail: kosachev@theor.mephi.ru

(Поступила в Редакцию 14 июня 2007 г.)

С учетом тонкого (по сравнению с длиной поверхностной волны) нарушенного изотропного поверхностного слоя, граничащего с вакуумом и расположенного на поверхности гексагонального кристалла с осью симметрии шестого порядка перпендикулярной поверхности, получены в аналитическом виде дисперсия фазовой скорости и обратная длина затухания поверхностных акустических волн Рэлея. Показано, что в пределе длинных (по сравнению с характерным размером неоднородности) волн, представляющем наибольший интерес для экспериментаторов, изменение дисперсии фазовой скорости волн Рэлея пропорционально второй, а обратная длина затухания — пятой степени частоты. Численно рассчитана обратная длина затухания рэлеевской волны. В настоящей работе ранее предложенный одним из авторов (В.В. Косачев, 1998) метод расчета обобщается на случай изотропного нарушенного слоя на анизотропной (гексагональной) подложке.

PACS: 43.20.Jr, 43.20.Hq, 43.20.Fn

## 1. Введение

При полировании оптических поверхностей диэлектрических материалов наряду с шероховатостью поверхности возникает так называемый структурно-нарушенный поверхностный слой, который оказывает существенное влияние на акустические свойства материала.

Влияние шероховатости поверхности на распространение поверхностных акустических волн (ПАВ) было рассмотрено в литературе достаточно подробно [1–7]. В настоящей работе структурно-нарушенный слой рассматривается без учета шероховатости.

Одним из возможных методов исследования параметров нарушенного слоя являются ПАВ. В основе исследования структурно-нарушенного слоя с помощью ПАВ лежит утверждение, что упругие свойства среды (плотность и коэффициенты Ламэ) изменяются при наличии различных структурных дефектов, что в свою очередь влияет на характер распространения ПАВ по нарушенному слою. Так, при исследовании поверхности металлов с помощью рэлеевских волн последние используются как средство неразрушающего контроля, позволяющего определять дефекты, степень и глубину термической закалки, остаточные механические напряжения и качество механической обработки поверхности [8].

Актуальной является также задача определения структуры существующего в металлах неоднородного приграничного слоя, свойства которого отличны от объемных характеристик [9,10]. В работах [11,12] изучалось влияние приграничных неоднородностей на характеристики волн Рэлея в коротковолновом пределе (длина волны много меньше характерных размеров дефекта). В работе [13] проведено измерение коэффициента затухания рэлеевской волны из-за рассеяния на неоднородностях

нарушенного слоя при различных способах обработки образцов.

В работах [14,15] решается обратная задача: исследование структуры неоднородного поверхностного слоя изотропного материала по дисперсии фазовой скорости волн Рэлея. Рассмотрены флуктуации коэффициентов Ламэ и плотности массы, которые считаются зависящими только от глубины нарушенного слоя.

Иной подход продемонстрирован в работах [16–18], где исследовались влияние индивидуальных свойств структурных дефектов (вакансионная пора, дислокация, микротрещина) и геометрия их расположения относительно поверхности на процесс рассеяния ПАВ Рэлея. Например, в работе [16] на основе вариационного метода рассмотрена задача рассеяния ПАВ Рэлея на пограничных дефектах. Получены коэффициенты отражения и прохождения для случая прямоугольной полости, которая может располагаться как вблизи поверхности, так и на глубине. В работе [17] приведены результаты экспериментальных исследований рассеяния рэлеевских волн двумерной выемкой, сформированной на поверхности алюминиевого образца. Для широкого диапазона значений глубины выемки выполнен полный комплекс измерений параметров рассеянных полей — угловых характеристик рассеянных продольных и сдвиговых объемных волн, а также коэффициентов отражения и прохождения поверхностных волн Рэлея. В работе [18] исследовалась зависимость дислокационного поглощения ПАВ Рэлея от глубины залегания дислокации для наиболее простого случая статических дислокаций, параллельных поверхности. Рассматривались случаи винтовой дислокации у поверхности полубесконечного образца и краевой дислокации, размещенной параллельно поверхности тела. Отдельно получен вклад от полевого затухания ПАВ Рэлея, а также от затухания на ядрах дислокации.

В работах [19–21] найдено дисперсионное соотношение волн Рэлея. В частности, в работе [19] получено дисперсионное соотношение рэлеевских волн в коротковолновой области для стекол со слабым экспоненциальным изменением модулей упругости и плотности в приграничном слое, созданном механической обработкой или методом ионной имплантации. В [20] получена дисперсия фазовой скорости ПАВ Рэлея в длинноволновом пределе для изотропной среды с произвольным типом приповерхностной неоднородности, зависящей только от глубины. В [21] изучалось влияние приграничных неоднородностей на характеристики волн Рэлея в коротковолновом пределе. Считалось, что характеристики слоя зависят только от глубины. Получена дисперсия фазовой скорости и коэффициент затухания.

В работах [22,23] используется подход теории рассеяния для нахождения коэффициента затухания волны Рэлея. Так, в [22] рассмотрено рассеяние волны Рэлея поверхностной неоднородностью плотности массы изотропного твердого тела. Считается, что плотность массы зависит от глубины экспоненциально. В [23] предполагалось, что флуктуации плотности и коэффициентов Ламэ вносят вклад в затухание независимо и также имеют экспоненциальную зависимость от глубины.

Таким образом, анализ приведенной литературы показывает, что существует два подхода для исследования приповерхностного нарушенного слоя.

1) Метод функции Грина [22,23], дающий возможность найти только длину затухания поверхностной волны. При этом в [22] учитывается лишь флуктуация плотности, в то время как в [23] рассматривается еще и флуктуация коэффициентов Ламэ. Однако в обеих работах предполагается, что зависимость характеристик слоя от глубины задается экспонентой, т. е. она детерминирована.

2) Метод среднего поля [19–21], позволяющий найти не только длину затухания, но и дисперсию фазовой скорости. Однако плотность и модули упругости в этих работах считаются зависящими только от глубины, и флуктуации этих параметров не рассматриваются.

В отличие от [19–23] в [24] с помощью модифицированного метода среднего поля [7] найдена дисперсия фазовой скорости и обратная длина затухания волн Рэлея для тонкого изотропного нарушенного слоя на изотропной подложке. Учитывались в произвольной форме как флуктуации плотности, так и флуктуации коэффициентов Ламэ.

Во всех цитированных работах рассматривается только изотропное твердое тело. В настоящей работе метод, предложенный в [24], обобщается на случай анизотропной (гексагональной) подложки.

## 2. Постановка задачи. Эффективные граничные условия

Пусть на поверхности полубесконечного гексагонального кристалла расположен изотропный слой толщины  $d$ , граничащий с вакуумом. Кристалл характеризуется

плотностью массы  $\rho^{(0)}$  и тензором модулей упругости  $C_{\alpha\beta\mu\nu}^{(0)}$ , а слой — соответственно  $\rho^{(1)}(\mathbf{x})$  и  $C_{\alpha\beta\mu\nu}^{(1)}(\mathbf{x})$ . Предполагается, что ось симметрии шестого порядка гексагонального кристалла направлена перпендикулярно поверхности. Кристалл занимает полупространство  $x_3 > 0$ . Будем считать, что толщина слоя мала по сравнению с длинной рэлеевской волны  $d \ll \lambda$ . Требуется найти дисперсию фазовой скорости и обратную длину затухания.

Для гармонической волны зависимость поля смещения от времени представляется в виде  $\mathbf{u}(\mathbf{x}, t) = \mathbf{u}(\mathbf{x} | \omega) \times \exp(-i\omega t)$ , тогда уравнения движения имеют вид

$$\begin{cases} L_{\alpha\mu}^{(1)}(\mathbf{x} | \omega) u_{\mu}^{(1)}(\mathbf{x} | \omega) = 0, & -d < x_3 < 0, \\ L_{\alpha\mu}^{(0)}(\mathbf{x} | \omega) u_{\mu}^{(0)}(\mathbf{x} | \omega) = 0, & 0 < x_3 < +\infty, \end{cases} \quad (1)$$

где

$$L_{\alpha\mu}(\mathbf{x} | \omega) = \rho(\mathbf{x})\omega^2 \delta_{\alpha\mu} + \frac{\partial}{\partial x_{\beta}} C_{\alpha\beta\mu\nu}(\mathbf{x}) \frac{\partial}{\partial x_{\nu}}.$$

Граничные условия можно записать как

$$\begin{aligned} C_{\alpha 3\mu\nu}^{(1)}(\mathbf{x}) \frac{\partial u_{\mu}^{(1)}}{\partial x_{\nu}} \Big|_{x_3=-d} &= 0, \\ C_{\alpha 3\mu\nu}^{(0)}(\mathbf{x}) \frac{\partial u_{\mu}^{(0)}}{\partial x_{\nu}} \Big|_{x_3=0} &= C_{\alpha 3\mu\nu}^{(1)}(\mathbf{x}) \frac{\partial u_{\mu}^{(1)}}{\partial x_{\nu}} \Big|_{x_3=0}, \\ \lim_{x_3 \rightarrow +\infty} u_{\alpha}^{(0)}(\mathbf{x} | \omega) &= 0. \end{aligned} \quad (2)$$

Так как  $d \ll \lambda$ , разложим граничное условие на поверхности в окрестности  $x_3 = 0$  — до членов второго порядка малости

$$\begin{aligned} C_{\alpha 3\mu\nu}^{(1)}(\mathbf{x}) \frac{\partial u_{\mu}^{(1)}(\mathbf{x} | \omega)}{\partial x_{\nu}} \Big|_{x_3=0-} &= d \frac{\partial}{\partial x_3} \left( C_{\alpha 3\mu\nu}^{(1)}(\mathbf{x}) \frac{\partial u_{\mu}^{(1)}(\mathbf{x} | \omega)}{\partial x_{\nu}} \right) \Big|_{x_3=0-} \\ &- \frac{d^2}{2} \frac{\partial^2}{\partial x_3^2} \left( C_{\alpha 3\mu\nu}^{(1)}(\mathbf{x}) \frac{\partial u_{\mu}^{(1)}(\mathbf{x} | \omega)}{\partial x_{\nu}} \right) \Big|_{x_3=0-} + O(d^3). \end{aligned} \quad (3)$$

Далее исключим из правой части (3) производные по  $x_3$ . Для этого левую часть (3) можно переписать в виде

$$\begin{aligned} \frac{\partial u_{\mu}^{(1)}(\mathbf{x} | \omega)}{\partial x_3} \Big|_{x_3=0-} &= -\Gamma_{\mu\lambda}^{(1)-1}(\mathbf{x}) C_{\lambda 3\mu\Delta}^{(1)}(\mathbf{x}) \\ &\times \frac{\partial u_{\mu}^{(1)}(\mathbf{x} | \omega)}{\partial x_{\Delta}} \Big|_{x_3=0-} + O(d), \end{aligned} \quad (4)$$

где  $\Gamma_{\alpha\mu}^{(1)}(\mathbf{x}) = C_{\alpha 3\mu 3}^{(1)}(\mathbf{x})$ . Здесь и далее индексы  $\phi, \Delta, \theta$  пробегает значения 1 и 2. В первом слагаемом в правой части (3) подставим вторую производную по  $x_3$  из уравнения движения, а первую — из (4). В результате

получим эффективное граничное условие на поверхности  $x_3 = 0$  в первом порядке по  $d$

$$C_{\alpha 3 \mu \nu}^{(1)}(\mathbf{x}) \left. \frac{\partial u_{\mu}^{(1)}(\mathbf{x} | \omega)}{\partial x_{\nu}} \right|_{x_3=0-} = -d \omega^2 \rho^{(1)}(\mathbf{x}) u_{\alpha}^{(1)}(\mathbf{x} | \omega) \Big|_{x_3=0-} - d \frac{\partial}{\partial x_{\phi}} \tilde{C}_{\alpha \phi \mu \Delta}^{(1)}(\mathbf{x}) \left. \frac{\partial u_{\mu}^{(1)}(\mathbf{x} | \omega)}{\partial x_{\Delta}} \right|_{x_3=0-} + O(d^2), \quad (5)$$

где  $\tilde{C}_{\alpha \phi \mu \Delta}^{(1)}(\mathbf{x}) = C_{\alpha \phi \mu \Delta}^{(1)}(\mathbf{x}) - C_{\alpha \phi \gamma 3}^{(1)}(\mathbf{x}) \Gamma_{\gamma \lambda}^{(1)-1}(\mathbf{x}) C_{\lambda 3 \mu \Delta}^{(1)}(\mathbf{x})$ .

Далее, подставляя в (3) вторую производную по  $x_3$  из уравнения движения, а первую — из (5), получаем эффективные граничные условия на поверхности  $x_3 = 0$  — во втором порядке

$$C_{\alpha 3 \mu \nu}^{(1)}(\mathbf{x}) \left. \frac{\partial u_{\mu}^{(1)}(\mathbf{x} | \omega)}{\partial x_{\nu}} \right|_{x_3=0-} = -d M_{\alpha \mu}^{(1)}(\mathbf{x} | \omega) u_{\mu}^{(1)}(\mathbf{x} | \omega) \Big|_{x_3=0-} + \frac{d^2}{2} N_{\alpha \mu}^{(1)}(\mathbf{x} | \omega) u_{\mu}^{(1)}(\mathbf{x} | \omega) \Big|_{x_3=0-} + O(d^3), \quad (6)$$

где

$$N_{\alpha \mu}^{(1)}(\mathbf{x} | \omega) = \frac{\partial M_{\alpha \mu}^{(1)}(\mathbf{x} | \omega)}{\partial x_3} + \frac{\partial}{\partial x_{\phi}} C_{\alpha \phi \gamma 3}^{(1)}(\mathbf{x}) \Gamma_{\gamma \lambda}^{(1)-1}(\mathbf{x}) \times M_{\lambda \mu}^{(1)}(\mathbf{x} | \omega) - M_{\alpha \gamma}^{(1)}(\mathbf{x} | \omega) \Gamma_{\gamma \lambda}^{(1)-1}(\mathbf{x}) C_{\lambda 3 \mu \phi}^{(1)}(\mathbf{x}) \frac{\partial}{\partial x_{\phi}},$$

$$M_{\alpha \mu}^{(1)}(\mathbf{x} | \omega) = \rho^{(1)}(\mathbf{x}) \omega^2 \delta_{\alpha \mu} + \frac{\partial}{\partial x_{\phi}} \tilde{C}_{\alpha \phi \mu \theta}^{(1)}(\mathbf{x}) \frac{\partial}{\partial x_{\theta}}.$$

Заметим, что условия (6) получены для кристалла произвольной симметрии.

### 3. Система уравнений для среднего поля ПАВ

Введем функцию Грина для гексагонального кристалла

$$\begin{cases} L_{\alpha \mu}(\mathbf{x} | \omega) D_{\mu \beta}(\mathbf{x}, \mathbf{x}' | \omega) = \delta_{\alpha \beta} \delta(\mathbf{x} - \mathbf{x}'), \\ C_{\alpha 3 \mu \nu}^{(0)} \left. \frac{\partial D_{\mu \beta}(\mathbf{x}, \mathbf{x}' | \omega)}{\partial x_{\nu}} \right|_{x_3=0} = 0, \\ D_{\mu \beta}(\mathbf{x}, \mathbf{x}' | \omega) \Big|_{|\mathbf{x}|, |\mathbf{x}'| \rightarrow \infty} \rightarrow 0. \end{cases} \quad (7)$$

Пользуясь интегральной теоремой Грина, можно написать

$$\int_V (u_{\alpha} L_{\alpha \mu} \omega_{\mu} - \omega_{\alpha} L_{\alpha \mu} u_{\mu}) d^3 x = \int_S dS \hat{n}_{\beta} C_{\alpha \beta \mu \nu}^{(0)} \left( u_{\alpha} \frac{\partial}{\partial x_{\nu}} \omega_{\mu} - \omega_{\alpha} \frac{\partial}{\partial x_{\nu}} u_{\mu} \right), \quad (8)$$

где  $\hat{n}_{\beta}$  — единичный вектор нормали к поверхности интегрирования, а  $\mathbf{u}$  и  $\boldsymbol{\omega}$  — произвольные функции.

Выбирая их в виде  $u_{\alpha} = D_{\alpha \gamma}(\mathbf{x}, \mathbf{x}' | \omega)$ ,  $\omega_{\alpha} = D_{\alpha \beta}(\mathbf{x}, \mathbf{x}'' | \omega)$ , получим из (8) выражение

$$D_{\beta \gamma}(\mathbf{x}', \mathbf{x}' | \omega) = D_{\gamma \beta}(\mathbf{x}', \mathbf{x}'' | \omega). \quad (9)$$

Подставляя в (8)  $u_{\alpha} = u_{\alpha}(\mathbf{x} | \omega)$ ,  $\omega_{\alpha} = D_{\alpha \gamma}(\mathbf{x}, \mathbf{x}' | \omega)$ , получим систему уравнений движения

$$u_{\gamma}^{(0)}(\mathbf{x}' | \omega) \theta(x'_3) = \int d^2 x_{\parallel} \left( D_{\alpha \gamma}(\mathbf{x}, \mathbf{x}' | \omega) C_{\alpha 3 \mu \nu}^{(0)} \frac{\partial}{\partial x_{\nu}} u_{\mu}^{(0)}(\mathbf{x} | \omega) \right) \Big|_{x_3=0+}, \quad (10)$$

где  $\theta(x)$  — ступенчатая функция Хевисайда, а  $\mathbf{x}_{\parallel} = (x_1, x_2, 0)$ .

Рассмотрим (10) на поверхности  $x'_3 = 0$ . Используя равенство  $\mathbf{u}^{(0)}(\mathbf{x}_{\parallel} | \omega) = \mathbf{u}^{(1)}(\mathbf{x}_{\parallel} | \omega)$ , граничное условие (2) и свойство (9), получаем

$$u_{\gamma}^{(1)}(\mathbf{x}'_{\parallel} | \omega) = \int d^2 x_{\parallel} D_{\gamma \alpha}(\mathbf{x}'_{\parallel}, \mathbf{x}_{\parallel} | \omega) C_{\alpha 3 \mu \nu}^{(1)}(\mathbf{x}_{\parallel}) \frac{\partial}{\partial x_{\nu}} u_{\mu}^{(1)}(\mathbf{x}_{\parallel} | \omega), \quad (11)$$

где под интегралом в правой части стоит эффективное граничное условие (6).

Далее произведем усреднение по всевозможным реализациям характеристик тонкого слоя. Для этого введем оператор  $\hat{P}$ , усредняющий все величины, и оператор  $\hat{Q} = 1 - \hat{P}$ . Любую функцию можно представить в виде  $f = \hat{P}f + \hat{Q}f$ . Очевидно также, что  $\hat{P}$  и  $\hat{Q}$  коммутируют, их квадраты равны им самим и среднее значение единицы  $\hat{P}1 = 1$ . Пользуясь этими свойствами, а также тем, что (11) можно записать в виде

$$\mathbf{u}(\mathbf{x}') = \mathbf{L}(\mathbf{x}', \mathbf{x}) \mathbf{u}(\mathbf{x}), \quad (12)$$

где  $\mathbf{L}(\mathbf{x}', \mathbf{x}) = d \mathbf{L}_1(\mathbf{x}', \mathbf{x}) + d^2 \mathbf{L}_2(\mathbf{x}', \mathbf{x}) + O(d^3)$ , а  $d$  — малый параметр, с точностью до квадратичных членов по  $d$  получаем

$$\begin{aligned} \langle u_{\gamma}(\mathbf{x}'_{\parallel} | \omega) \rangle &= \int d^2 x_{\parallel} D_{\gamma \alpha}(\mathbf{x}'_{\parallel}, \mathbf{x}_{\parallel} | \omega) \left( -d \langle M_{\alpha \mu}^{(1)}(\mathbf{x}_{\parallel} | \omega) \rangle \right. \\ &+ \left. \frac{d^2}{2} \langle N_{\alpha \mu}^{(1)}(\mathbf{x}_{\parallel} | \omega) \rangle \right) \langle u_{\mu}(\mathbf{x}_{\parallel} | \omega) \rangle + d^2 \int d^2 y_{\parallel} d^2 x_{\parallel} \\ &\times D_{\gamma \beta}(\mathbf{x}'_{\parallel}, \mathbf{y}_{\parallel} | \omega) \left( \langle M_{\beta \delta}^{(1)}(\mathbf{y}_{\parallel} | \omega) \rangle D_{\delta \alpha}(\mathbf{y}_{\parallel}, \mathbf{x}_{\parallel} | \omega) M_{\alpha \mu}^{(1)}(\mathbf{x}_{\parallel} | \omega) \right) \\ &- \langle M_{\beta \delta}^{(1)}(\mathbf{y}_{\parallel} | \omega) \rangle D_{\delta \alpha}(\mathbf{y}_{\parallel}, \mathbf{x}_{\parallel} | \omega) \langle M_{\alpha \mu}^{(1)}(\mathbf{x}_{\parallel} | \omega) \rangle \langle u_{\mu}(\mathbf{x}_{\parallel} | \omega) \rangle. \end{aligned} \quad (13)$$

Здесь введено обозначение  $\hat{P}f = \langle f \rangle$ .

Для вычисления средних значений операторов введем следующие обозначения:

$$\begin{aligned} \rho^{(1)}(\mathbf{x}_{\parallel}) &= \rho_0 (1 + f_1(\mathbf{x}_{\parallel})), \\ \lambda(\mathbf{x}_{\parallel}) &= \lambda_0 (1 + f_2(\mathbf{x}_{\parallel})), \\ \mu(\mathbf{x}_{\parallel}) &= \mu_0 (1 + f_3(\mathbf{x}_{\parallel})). \end{aligned} \quad (14)$$

При этом будем считать, что

$$\begin{aligned} \langle f_i(\mathbf{x}_{\parallel}) \rangle &= 0, \\ \langle f_i(\mathbf{x}_{\parallel}) f_j(\mathbf{x}'_{\parallel}) \rangle &= \varepsilon_{ij} W_{ij}(|\mathbf{x}_{\parallel} - \mathbf{x}'_{\parallel}|), \\ W_{ij}(0) &= 1, \quad \varepsilon_{ij} \ll 1, \end{aligned} \quad (15)$$

Предполагаем также, что тонкий слой слабо неоднороден:

$$f_{\alpha}(\mathbf{x}_{\parallel}) \ll 1, \quad \alpha = 1, 2, 3. \quad (16)$$

Перейдем к Фурье-представлению

$$D_{\alpha\beta}(\mathbf{x}_{\parallel}, \mathbf{x}'_{\parallel} | \omega) = \int \frac{d^2 k}{(2\pi)^2} \exp(i\mathbf{k}(\mathbf{x}_{\parallel} - \mathbf{x}'_{\parallel})) D_{\alpha\beta}(\mathbf{k} | \omega),$$

$$u_{\alpha}(\mathbf{x}_{\parallel} | \omega) = \int \frac{d^2 k}{(2\pi)^2} \exp(i\mathbf{k}\mathbf{x}_{\parallel}) u_{\alpha}(\mathbf{k} | \omega),$$

$$W_{ij}(|\mathbf{x}_{\parallel} - \mathbf{y}_{\parallel}|) = \int \frac{d^2 k}{(2\pi)^2} \exp(i\mathbf{k}(\mathbf{x}_{\parallel} - \mathbf{y}_{\parallel})) g_{ij}(|\mathbf{k}|),$$

$$\delta(\mathbf{x}_{\parallel}) = \int \frac{d^2 k}{(2\pi)^2} \exp(i\mathbf{k}\mathbf{x}_{\parallel}), \quad (17)$$

$$\langle f_i(\mathbf{k}) f_j(\mathbf{q}) \rangle = \varepsilon_{ij} g(|\mathbf{k}|) (2\pi)^2 \delta(\mathbf{k} + \mathbf{q}), \quad (18)$$

где  $a_{ij}$  — корреляционный радиус неоднородности слоя,

$$\mathbf{k} = (k_1, k_2, 0), \quad \mathbf{q} = (q_1, q_2, 0), \quad (19)$$

а  $g(|\mathbf{k}|)$  — поверхностный структурный фактор, который выбираем в гауссовом виде

$$g(|\mathbf{k}|) = \pi a_{ij}^2 \exp\left(-\frac{\mathbf{k}^2 a_{ij}^2}{4}\right). \quad (20)$$

Тогда (13) принимает вид

$$\begin{aligned} \langle u_{\gamma}(\mathbf{k} | \omega) \rangle &= \left( D_{\gamma\alpha}(\mathbf{k} | \omega) A_{\alpha\mu}(\mathbf{k} | \omega) + d^2 D_{\gamma\beta}(\mathbf{k} | \omega) \right. \\ &\times \left. \int \frac{d^2 q}{(2\pi)^2} B_{\beta\delta\alpha\mu}(\mathbf{q}, \mathbf{k}, \mathbf{k} - \mathbf{q} | \omega) D_{\delta\alpha}(\mathbf{q} | \omega) \right) \langle u_{\mu}(\mathbf{k} | \omega) \rangle, \end{aligned} \quad (21)$$

где  $A_{\alpha\mu}(\mathbf{k} | \omega)$  и  $B_{\beta\delta\alpha\mu}(\mathbf{q}, \mathbf{k}, \mathbf{k} - \mathbf{q} | \omega)$  приведены в Приложении.

Для упрощения выражений переходим от функций  $D_{\alpha\beta}(\mathbf{k} | \omega)$  к функциям  $d_{\alpha\beta}(k | \omega)$ .

Для этого введем матрицу поворота

$$S(\hat{\mathbf{k}}) = \begin{pmatrix} \hat{k}_1 & \hat{k}_2 & 0 \\ -\hat{k}_2 & \hat{k}_1 & 0 \\ 0 & 0 & 1 \end{pmatrix}, \quad \text{где } \hat{k}_{\phi} = \frac{k_{\phi}}{k}, \quad (22)$$

и следующие обозначения:

$$\begin{aligned} F_{\alpha}(\mathbf{k} | \omega) &= S_{\alpha\mu}(\hat{\mathbf{k}}) \langle u_{\mu}(\mathbf{k} | \omega) \rangle, \\ d_{\alpha\beta}(k | \omega) &= S_{\alpha\mu}(\hat{\mathbf{k}}) D_{\mu\nu}(\mathbf{k} | \omega) S_{\nu\beta}^{-1}(\hat{\mathbf{k}}), \\ T_{\alpha\beta}^{(i)}(\mathbf{k}, \mathbf{q} | \omega) &= S_{\alpha\mu}(\hat{\mathbf{k}}) N_{\mu\delta}^{(i)}(\mathbf{k}, \mathbf{q} | \omega) S_{\delta\beta}^{-1}(\hat{\mathbf{q}}) = T_{\beta\alpha}^{(i)}(\mathbf{q}, \mathbf{k} | \omega), \\ t_{\alpha\beta}(\mathbf{k} | \omega) &= S_{\alpha\mu}(\hat{\mathbf{k}}) A_{\mu\delta}(\mathbf{k} | \omega) S_{\delta\beta}^{-1}(\hat{\mathbf{k}}). \end{aligned} \quad (23)$$

После сделанных преобразований в (21) пробное интегрирование по углам показывает, что компоненты  $F_1$  и  $F_3$  отделяются от  $F_2$ :

$$\begin{aligned} F_2(\mathbf{k} | \omega) &= \left( d_{22}(k | \omega) t_{22}(\mathbf{k} | \omega) \right. \\ &+ \left. d^2 \sum_{i,j=1}^3 \varepsilon_{ij} \int \frac{d^2 q}{(2\pi)^2} g_{ij}(|\mathbf{k} - \mathbf{q}|) K_{22}^{ij}(\mathbf{k}, \mathbf{q} | \omega) \right) F_2(\mathbf{k} | \omega), \end{aligned} \quad (24)$$

$$\begin{aligned} \begin{pmatrix} F_1(\mathbf{k} | \omega) \\ F_3(\mathbf{k} | \omega) \end{pmatrix} &= \begin{pmatrix} d_{11}t_{11} + d_{13}t_{31} & d_{11}t_{13} + d_{13}t_{33} \\ d_{31}t_{11} + d_{33}t_{31} & d_{31}t_{13} + d_{33}t_{33} \end{pmatrix} \\ &+ d^2 \sum_{i,j=1}^3 \varepsilon_{ij} \int \frac{d^2 q}{(2\pi)^2} g_{ij}(|\mathbf{k} - \mathbf{q}|) \\ &\times \begin{pmatrix} K_{11}^{ij}(\mathbf{k}, \mathbf{q} | \omega) & K_{13}^{ij}(\mathbf{k}, \mathbf{q} | \omega) \\ K_{31}^{ij}(\mathbf{k}, \mathbf{q} | \omega) & K_{33}^{ij}(\mathbf{k}, \mathbf{q} | \omega) \end{pmatrix} \begin{pmatrix} F_1(\mathbf{k} | \omega) \\ F_3(\mathbf{k} | \omega) \end{pmatrix}, \end{aligned} \quad (25)$$

где  $K_{\alpha\mu}^{ij}(\mathbf{k}, \mathbf{q} | \omega) = d_{\alpha\beta}(k | \omega) T_{\beta\delta}^{(i)}(\mathbf{k}, \mathbf{q} | \omega) d_{\delta\alpha}(q | \omega) \times T_{\alpha\mu}^{(j)T}(\mathbf{k}, \mathbf{q} | \omega)$ .

Уравнение (24) описывает преимущественно волны горизонтальной поляризации, а (25) — сагиттальной. Функция Грина для  $Z$ -среза полубесконечного гексагонального кристалла со свободной границей получена в [25] для любых значений  $x_3, x'_3$ . В нашем случае  $x_3 = 0; x'_3 = 0$ , в результате чего функция Грина существенно упрощается.

#### 4. Дисперсионное соотношение для ПАВ Рэлея

Будем искать дисперсионное соотношение для волн сагиттальной поляризации. Заметим, что условие разрешимости (25), дающее дисперсионное соотношение, можно записать в виде

$$\det(1 + \delta A) = 0. \quad (26)$$

Для любых квадратных матриц  $2 \times 2$

$$\det(A + \delta A) = \det A + \det A \cdot \text{Sp}((A^{-1})^T \delta A) + \det \delta A. \quad (27)$$

Из (27) и (26) следует выражение

$$1 = -\text{Sp}(\delta A) + \det \delta A. \quad (28)$$

При рассмотрении (25) и (28) видно, что есть компоненты функции Грина  $d_{\alpha\beta}(k | \omega)$ , знаменатель которых может обращать правую часть (28) в бесконечность при некоторых значениях переменной  $k$ . Умножив (28) на этот знаменатель, получим

$$A(k | \omega) = Z(k | \omega), \quad (29)$$

где  $A(k | \omega)$  приведено в Приложении.

При  $d = 0$  выражение  $Z(k|\omega)$  обращается в нуль, и уравнение

$$A(k|\omega) = 0 \quad (30)$$

дает известное дисперсионное соотношение для  $Z$ -среза гексагонального кристалла на свободной плоской поверхности [25]. Решение (30) имеет вид

$$\rho\omega_R^2 = c_{44}\varepsilon k^2, \quad (31)$$

где  $\varepsilon$  зависит только от компонент тензора модулей упругости.

Разлагая далее в (29)  $A(k|\omega)$  в ряд Тейлора по  $\omega$  в окрестности  $\omega = \omega_R$ , запишем закон дисперсии в виде

$$\frac{\Delta\omega}{\omega_R} = \frac{\omega - \omega_R}{\omega_R} = \frac{1}{\omega_R \left( \frac{\partial A(k|\omega_R)}{\partial \omega} \right)} Z(k|\omega) \Big|_{\omega \rightarrow \omega_R + i\alpha}, \quad (32)$$

где  $\alpha$  — малое вещественное число, а

$$\begin{aligned} Z(k|\omega) = & A(k|\omega)(d_{11}t_{11} + d_{13}t_{31} + d_{31}t_{13} + d_{33}t_{33}) \\ & - A(k|\omega) \det \delta A + A(k|\omega) d^2 \sum_{i,j=1}^3 \varepsilon_{ij} \\ & \times \int \frac{d^2q}{(2\pi)^2} g_{ij}(|\mathbf{k} - \mathbf{q}|) (K_{11}^{ij}(\mathbf{k}, \mathbf{q}|\omega) + K_{33}^{ij}(\mathbf{k}, \mathbf{q}|\omega)). \end{aligned} \quad (33)$$

В  $Z(k|\omega)$  оставляем только члены, пропорциональные до  $d^2$ . Введем переменные

$$\xi_{ij} = ka_{ij}, \quad \eta = \frac{q}{k} \quad (34)$$

и проинтегрируем по углам, используя интегральное представление модифицированной функции Бесселя. В (33) часть подынтегрального выражения содержит в знаменателе  $A(q, \omega_R + i\alpha)$ , для которого можно записать

$$\begin{aligned} \frac{1}{A(q, \omega_R + i\alpha)} = & P \frac{1}{A(q, \omega_R)} \\ & - i\pi \text{Sign} \left( \frac{\partial A(k, \omega_R)}{\partial \omega} \right) \frac{\delta(\eta - 1)}{k \frac{\partial A(k, \omega_R)}{\partial q}}, \end{aligned} \quad (35)$$

где символ  $P$  означает интегрирование в смысле главного значения Коши, а  $\text{Sign}(x)$  — знак  $x$ .

В результате получаем дисперсионное соотношение

$$\begin{aligned} \frac{\Delta\omega(k)}{\omega_R} = & \gamma \left[ kd\chi + (kd)^2\psi + (kd)^2 \frac{1}{2} \sum_{i,j=1}^3 \varepsilon_{ij} \xi_{ij}^2 \right. \\ & \left. \times \exp(-\xi_{ij}^2/4) (A^{ij}(\xi_{ij}) + B^{ij}(\xi_{ij}) + E^{ij}(\xi_{ij})) \right]. \end{aligned} \quad (36)$$

Здесь

$$A^{ij}(\xi_{ij}) = \int_0^\infty d\eta \eta \frac{\exp(-\xi_{ij}^2 \eta^2/4)}{\alpha_{ij}(\eta)} \sum_{m=\theta}^4 P_m^{ij}(\eta) I_m(\eta \xi_{ij}^2/2), \quad (37)$$

$$B^{ij}(\xi_{ij}) = P \int_0^\infty d\eta \eta \frac{\exp(-\xi_{ij}^2 \eta^2/4)}{\bar{A}(\eta)} \sum_{m=0}^4 Q_m^{ij}(\eta) I_m(\eta \xi_{ij}^2/2), \quad (38)$$

символ  $P$  означает интегрирование в смысле главного значения Коши, полюс находится в точке  $\eta_0 = 1$ , а его значение  $E^{ij}(\xi_{ij})$  приведено в Приложении;  $I_m(z)$  — модифицированные функции Бесселя,

$$I_m(z) = \frac{1}{2\pi} \int_0^{2\pi} d\theta \exp(z \cos \theta) \cos m\theta,$$

$\chi, \psi, \gamma$  — константы, зависящие от характеристик гексагонального кристалла и изотропного слоя.

Остальные величины приведены в Приложении. Матрицы  $P_m^{ij}$  и  $Q_m^{ij}$  симметричны относительно перестановки верхних индексов.

Комплексный сдвиг частоты делится на вещественную и мнимую части

$$\Delta\omega(k) = v_1(k) - iv_2(k). \quad (39)$$

При этом  $v_1(k)$  дает дисперсию фазовой скорости волны Рэлея, а мнимая часть  $v_2(k)$  — обратную длину затухания

$$\frac{1}{l(k)} = 2k \frac{v_2(k)}{\omega_R}. \quad (40)$$

Если в задаче о распространении ПАВ по структурно-нарушенному слою положить параметры слоя постоянными величинами, то получится задача о распространении ПАВ в системе „однородный слой на полупространстве“. Рассмотрение такого частного случая дает возможность частично проверить полученные результаты. В частности, в работе [26] найдена дисперсия фазовой скорости для тонкого гексагонального слоя, лежащего на гексагональной полубесконечной подложке, в первом порядке по  $d$ . В [27] рассмотрена задача о распространении ПАВ в системе, состоящей из нескольких различных изотропных слоев (суммарная толщина которых мала по сравнению с длиной волны), лежащих на изотропной подложке. При сравнении результатов настоящей работы с результатами [26,27] показано их совпадение.

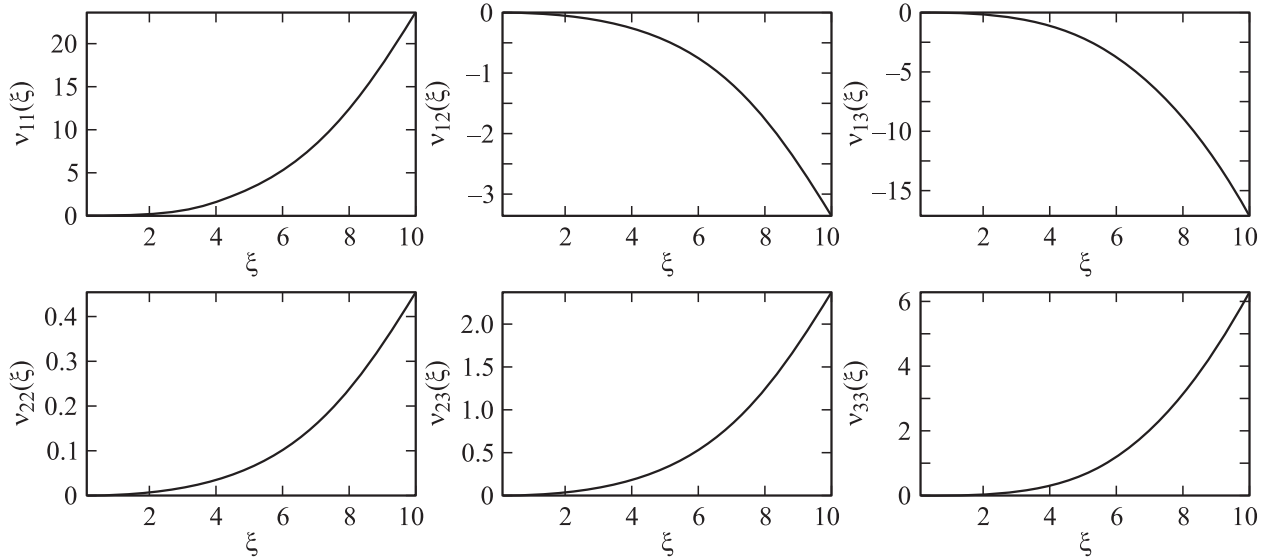
## 5. Длинноволновой предел

В длинноволновом пределе длина рэлеевской волны  $l$  велика по сравнению со всеми корреляционными радиусами неоднородности  $a_{ij}$ .

Рассмотрим вещественную часть (36). Интегралы (37), (38) „набирают“ свое основное значение при  $\xi_{ij}\eta = ka_{ij}\eta \approx 1$ ; следовательно,  $\eta \gg 1$ . Аргумент модифицированных функций Бесселя мал, поэтому

$$I_m(z) \approx \frac{1}{m!} \left( \frac{z}{2} \right)^m (1 + O(z)). \quad (41)$$

Мнимая часть интегралов равна нулю при  $\eta > \sqrt{\varepsilon/h} \approx 1$  для (37) и  $\eta > \sqrt{\varepsilon} \approx 1$  для (38), поэтому для



Графики безразмерных функций  $v_{ij}$ , характеризующих обратную длину затухания рэлеевских волн в структуре гексагональная подложка ZnO–изотропный слой ZnO.

вычисления мнимой части нужно под интегралами (37), (38) положить  $\xi_{ij}\eta = 0$ . В результате получаем

$$\frac{\Delta\omega}{\omega_R} = \gamma Z, \quad (42)$$

$$\begin{aligned} \text{Re}(Z) = & -kdc_{33}(\alpha_{11} + \alpha_{22}) \left( \frac{\rho_0}{\rho} c_{44}\varepsilon - b_0 - 2\mu_0 \right. \\ & \left. - \frac{c_{44}\varepsilon - c_{11}}{\alpha_{11}\alpha_{22}c_{33}} \frac{\rho_0}{\rho} c_{44}\varepsilon \right) + \frac{kd}{2} \left( \varepsilon_{33} \frac{d}{a_{33}} \frac{\sqrt{\pi}\mu_0^2 c_{33}}{c_{44}\sqrt{h}} \right. \\ & \left. \times (\alpha_{11} + \alpha_{22}) - \sum_{i,j=2}^3 \varepsilon_{ij} \frac{d}{a_{ij}} \frac{2\sqrt{\pi}Q_{ij}}{a_1 c_{33} c_{44}} \right), \quad (43) \end{aligned}$$

$$\begin{aligned} \text{Im}(Z) = & \frac{k^4 d^2}{2} \sum_{i,j=1}^3 \varepsilon_{ij} a_{ij}^2 \left( \int_0^{\sqrt{\frac{\varepsilon}{h}}} d\eta \eta \frac{P_0^{ij}(\eta)}{\sqrt{\varepsilon - h\eta^2}} \right. \\ & \left. + \text{Im} \left( \int_0^{\sqrt{\varepsilon}} d\eta \eta \frac{Q_0^{ij}(\eta)}{\tilde{A}(\eta)} \right) + E^{ij}(0) \right), \quad (44) \end{aligned}$$

где величины  $Q_{ij}$  приведены в Приложении.

Отсюда следует, что изменение дисперсии фазовой скорости  $v_1 \sim k^2 \sim \omega^2$ , а обратная длина затухания  $1/l \sim k^5 \sim \omega^5$ .

## 6. Численный расчет

Дисперсионное соотношение (36) содержит 15 параметров, характеризующих поверхностный нарушенный слой. Это средние значения  $\rho_0$ ,  $\lambda_0$ ,  $\mu_0$  и по шесть независимых компонент  $\varepsilon_{ij}$  и  $a_{ij}$ . Мнимую часть  $\Delta\omega$  для

волн Рэля можно записать в виде

$$\text{Im} \frac{\Delta\omega}{\omega_R} = - \sum_{i,j=1}^3 \varepsilon_{ij} \frac{d^2}{a_{ij}^2} v_{ij}(\xi_{ij}), \quad (45)$$

где  $v_{ij}(\xi_{ij})$  — безразмерные функции, симметричные по нижним индексам и зависящие только от трех величин, характеризующих слой  $\rho_0$ ,  $\lambda_0$ ,  $\mu_0$ , а  $\xi_{ij} = ka_{ij}$  является параметром. В работе [28] предложен метод определения изотропных упругих постоянных поликристаллических систем, полученных из данных для монокристаллов. Взяв из [28] соответствующие параметры, можно построить графики функций  $v_{ij}(\xi_{ij})$ . На рисунке представлены графики  $v_{ij}(\xi_{ij})$  для волн Рэля в системе „подложка ZnO с изотропным слоем ZnO“. Все представленные на рисунке графики качественно подобны друг другу и различаются в основном знаком и амплитудой.

В частном случае тонких пленок флуктуирует только плотность. В этом случае из всех  $\varepsilon_{ij}$  отличным от нуля остается только  $\varepsilon_{11}$  и обратная длина затухания будет определяться только одним графиком  $v_{11}(\xi)$ , представленным на рисунке.

Таким образом, по сравнению с (45) остаются всего два свободных (подгоночных) параметра, характеризующих распределение неоднородностей в нарушенном слое, а именно: корреляционный радиус  $a_{11}$  и среднеквадратичная флуктуация плотности  $\langle (\rho^{1,f}(\mathbf{x}_{\parallel}))^2 \rangle^{1/2}$ .

## 7. Заключение

В работе впервые исследовано распространение рэлеевских волн вдоль свободной поверхности (гексагонального) кристалла с учетом структурно-нарушенного поверхностного слоя. Поверхностный слой предполагался изотропным и тонким по сравнению с длиной

рэлеевской воны. В задаче рассматривалась флуктуация характеристик нарушенного слоя — плотности и коэффициентов Ламэ, произвольно зависящих от пространственных координат. Статистическое распределение флуктуаций неоднородностей нарушенного слоя предполагалось гауссовым. С помощью модифицированного метода среднего поля [7] в аналитическом виде получены дисперсия фазовой скорости и обратная длина затухания во втором порядке по толщине слоя.

В длинноволновом пределе, когда длина волны много больше корреляционных радиусов неоднородностей структурно-нарушенного слоя, показано, что дисперсия фазовой скорости пропорциональна второй степени частоты волны, а обратная длина затухания — пятой.

Для конкретного случая гексагональной подложки ZnO с учетом изотропного поверхностного слоя ZnO обратная длина затухания рэлеевской волны исследована численно.

Поскольку найденное в работе дисперсионное соотношение содержит 15 параметров, характеризующих поверхностный нарушенный слой, обсуждается частный случай тонких пленок, когда остаются всего два параметра, характеризующих распределение неоднородностей в слое. Заметим, что такая упрощенная модель может оказаться весьма полезной при исследовании параметров неоднородностей аморфных пленок.

## Приложение

$$A_{\alpha\mu}(\mathbf{k}|\omega) = -d\rho_0\omega^2\delta_{\alpha\mu} - d((b_0 + \mu_0)k_\alpha k_\mu + \mu_0 k^2(\delta_{\alpha\mu} - \delta_{\alpha 3}\delta_{\mu 3})) - i\frac{d^2}{2}(-\rho_0\omega^2 b_1 + k^2(b_0 + 2\mu_0)) \times (\delta_{\alpha 3}k_\mu - \delta_{\mu 3}k_\alpha); \quad (\text{П1})$$

$$B_{\beta\delta\alpha\mu}(\mathbf{q}, \mathbf{k}, \mathbf{k} - \mathbf{q}|\omega) = \sum_{i,j=1}^3 \varepsilon_{ij}g_{ij}(|\mathbf{k} - \mathbf{q}|) \times N_{\beta\delta}^{(i)}(\mathbf{k}, \mathbf{q}|\omega)N_{\alpha\mu}^{(j)T}(\mathbf{k}, \mathbf{q}|\omega); \quad (\text{П2})$$

$$N_{\beta\delta}^{(1)}(\mathbf{k}, \mathbf{q}|\omega) = -\rho_0\omega^2\delta_{\beta\delta},$$

$$N_{\beta\delta}^{(2)}(\mathbf{k}, \mathbf{q}|\omega) = d_1 k_\beta q_\delta,$$

$$N_{\beta\delta}^{(3)}(\mathbf{k}, \mathbf{q}|\omega) = d_2 k_\beta q_\delta + \mu_0(q_\beta k_\delta + (\mathbf{k}, \mathbf{q})(\delta_{\beta\delta} - \delta_{\beta 3}\delta_{\delta 3})); \quad (\text{П3})$$

$$b_1 = \frac{d_0}{\lambda_0} + \left(\frac{d_0^3}{\lambda_0^2\mu_0} + \frac{d_0^2}{2\lambda_0\mu_0}\right)\varepsilon_{23} + \frac{d_0^3}{4\lambda_0\mu_0^2}\varepsilon_{22} + \frac{d_5}{\lambda_0}\varepsilon_{33} - \frac{d_0^2}{2\lambda_0\mu_0}\varepsilon_{12} + \frac{d_2}{\lambda_0}\varepsilon_{13}; \quad (\text{П4})$$

$$b_0 = d_0 + d_3\varepsilon_{23} + d_4\varepsilon_{22} + d_5\varepsilon_{33}; \quad (\text{П5})$$

$$d_0 = \frac{2\lambda_0\mu_0}{\lambda_0 + 2\mu_0}, \quad d_1 = d_0 - \frac{d_0^2}{2\mu_0}, \quad d_2 = d_0 - \frac{d_0^2}{\lambda_0}; \quad (\text{П6})$$

$$d_3 = d_0 - \frac{d_0^2}{\lambda_0} - \frac{d_0^2}{2\mu_0} + \frac{d_0^3}{\lambda_0\mu_0}, \quad d_4 = \frac{d_0^3}{4\mu_0^2} - \frac{d_0^2}{2\mu_0},$$

$$d_5 = \frac{d_0^3}{\lambda_0^2} - \frac{d_0^2}{\lambda_0}; \quad (\text{П7})$$

$$E^{ij}(\xi_{ij}) = -i\pi \text{Sign}$$

$$\times \left( \frac{(1-\varepsilon)(2\frac{c_{33}}{c_{11}}\alpha_{11}\alpha_{22} + 2 - 3\frac{c_{44}}{c_{11}}\varepsilon) + \varepsilon(1 - \frac{c_{44}}{c_{11}}\varepsilon)}{(1-\varepsilon)(2a_1\frac{c_{33}}{c_{11}}\alpha_{11}\alpha_{22} - \varepsilon) + \varepsilon(1 - \frac{c_{44}}{c_{11}}\varepsilon)} \right) \times \frac{\alpha_{11}\alpha_{22}(1-\varepsilon)\exp(-\xi_{ij}^2/4)}{c_{11}c_{44}((1-\varepsilon)(2a_1\frac{c_{33}}{c_{11}}\alpha_{11}\alpha_{22} - \varepsilon) + \varepsilon(1 - \frac{c_{44}}{c_{11}}\varepsilon))} \times \sum_{m=0}^4 Q_m^{ij}(1)I_m(\xi_{ij}^2/2); \quad (\text{П8})$$

$$\gamma = \frac{\alpha_{11}\alpha_{22}(1-\varepsilon)}{c_{11}c_{44}\varepsilon((1-\varepsilon)(2\frac{c_{33}}{c_{11}}\alpha_{11}\alpha_{22} + 2 - 3\frac{c_{44}}{c_{11}}\varepsilon) + \varepsilon(1 - \frac{c_{44}}{c_{11}}\varepsilon))}; \quad (\text{П9})$$

$$\chi = -c_{33}(\alpha_{11} + \alpha_{33}) \times \left( \frac{\rho_0}{\rho}c_{44}\varepsilon - b_0 - 2\mu_0 - \frac{c_{44}\varepsilon - c_{11}}{\alpha_{11}\alpha_{22}c_{33}}\frac{\rho_0}{\rho}c_{44}\varepsilon \right); \quad (\text{П10})$$

$$\psi = \left( -c_{13} + \frac{c_{11} - c_{44}\varepsilon}{\alpha_{11}\alpha_{22}} \right) \left( -\frac{\rho_0}{\rho}c_{44}\varepsilon b_1 + b_0 + 2\mu_0 \right) + \frac{\rho_0}{\rho}c_{44} \left( \frac{\rho_0}{\rho}c_{44}\varepsilon + b_0 + 2\mu_0 \right) \left( 1 + \frac{c_{33}}{c_{44}}(a_1 - \varepsilon) \right); \quad (\text{П11})$$

$$A(\eta) = c_{13}^2\eta^2 + (c_{11}\eta^2 - c_{44}\varepsilon) \left( \frac{c_{44}\varepsilon}{\tilde{\alpha}_{11}\tilde{\alpha}_{22}} - c_{33} \right); \quad (\text{П12})$$

$$\alpha_{ii}(\eta) = \begin{cases} \sqrt{\eta^2 h - \varepsilon}, & \eta^2 h - \varepsilon \geq 0, \\ -i\sqrt{\varepsilon - \eta^2 h}, & \eta^2 h - \varepsilon < 0; \end{cases} \quad (\text{П13})$$

$$h = \frac{c_{11} - c_{12}}{2c_{44}}; \quad (\text{П14})$$

$$\tilde{\alpha}_{11}^2 = \frac{1}{2}(x + \sqrt{x^2 - 4y^2}), \quad \text{Re } \tilde{\alpha}_{11,22}^2 > 0,$$

$$\tilde{\alpha}_{22}^2 = \frac{1}{2}(x - \sqrt{x^2 - 4y^2}), \quad \text{Im } \tilde{\alpha}_{11,22}^2 < 0,$$

$$x = \left( a_1 + 2\frac{c_{13}}{c_{33}}\eta^2 \right) - \frac{c_{33} + c_{44}}{c_{33}}\varepsilon,$$

$$y^2 = \frac{1}{c_{33}}(\eta^2 - \varepsilon)(c_{11}\eta^2 - c_{44}\varepsilon); \quad (\text{П15})$$

$$\alpha_{11,22} = \tilde{\alpha}_{11,22}|_{\eta=1}; \quad (\text{П16})$$

$$\begin{cases} \left( 1 - \frac{c_{44}}{c_{33}} \right) \varepsilon^3 + \left( \frac{c_{11}}{c_{33}} - 1 - 2a_1 \right) \varepsilon^2 + a_1(2 + a_1)\varepsilon - a_1^2 = 0, \\ 0 < \varepsilon < \min(1, a_1), \quad a_1 = \frac{c_{11}c_{33} - c_{13}^2}{c_{33}c_{44}}; \end{cases} \quad (\text{П17})$$

$$P_0^{11} = -P_2^{11} = \left(\frac{\rho_0}{\rho}\right)^2 \frac{c_{44}\varepsilon^2 c_{33}}{2} (\alpha_{11} + \alpha_{22}); \quad (\text{П18})$$

$$P_1^{13} = -P_3^{13} = -\left(\frac{\rho_0}{\rho}\right) \frac{\varepsilon\eta\mu_0 c_{33}}{2} (\alpha_{11} + \alpha_{22}); \quad (\text{П19})$$

$$P_0^{33} = -P_4^{33} = \eta^2 \frac{\mu_0^2 c_{33}}{2c_{44}} (\alpha_{11} + \alpha_{22}); \quad (\text{П20})$$

$$Q_0^{11} = \left(\frac{\rho_0}{\rho}\right)^2 (c_{44}\varepsilon)^2 \left(\frac{1}{2} c_{33}(\alpha_{11} + \alpha_{22}) c_{33}(\tilde{\alpha}_{11} + \tilde{\alpha}_{22}) + \frac{(c_{44}\varepsilon - c_{11})(\alpha_{11} + \alpha_{22})}{\alpha_{11}\alpha_{22}} \frac{(c_{44}\varepsilon - c_{11}\eta^2)(\tilde{\alpha}_{11} + \tilde{\alpha}_{22})}{\tilde{\alpha}_{11}\tilde{\alpha}_{22}}\right); \quad (\text{П21})$$

$$Q_1^{11} = \left(\frac{\rho_0}{\rho}\right)^2 (c_{44}\varepsilon)^2 2 \left(-c_{13} + \frac{c_{11} - c_{44}\varepsilon}{\alpha_{11}\alpha_{22}}\right) \times \left(-c_{13} + \frac{c_{11}\eta^2 - c_{44}\varepsilon}{\tilde{\alpha}_{11}\tilde{\alpha}_{22}}\right); \quad (\text{П22})$$

$$Q_2^{11} = \left(\frac{\rho_0}{\rho}\right)^2 (c_{44}\varepsilon)^2 \frac{1}{2} c_{33}^2 (\alpha_{11} + \alpha_{22})(\tilde{\alpha}_{11} + \tilde{\alpha}_{22}); \quad (\text{П23})$$

$$Q_0^{12} = -\frac{\rho_0}{\rho} c_{44}\varepsilon\eta d_1 \left(c_{13} + \frac{c_{44}\varepsilon - c_{11}}{\alpha_{11}\alpha_{22}}\right) \times \left(c_{13} + \frac{c_{44}\varepsilon - c_{11}\eta^2}{\tilde{\alpha}_{11}\tilde{\alpha}_{22}}\right); \quad (\text{П24})$$

$$Q_1^{12} = -\frac{\rho_0}{\rho} c_{44}\varepsilon\eta d_1 c_{33}^2 (\alpha_{11} + \alpha_{22})(\tilde{\alpha}_{11} + \tilde{\alpha}_{22}); \quad (\text{П25})$$

$$Q_0^{13} = -\frac{\rho_0}{\rho} c_{44}\varepsilon\eta (d_2 + \mu_0) \left(c_{13} + \frac{c_{44}\varepsilon - c_{11}}{\alpha_{11}\alpha_{22}}\right) \times \left(c_{13} + \frac{c_{44}\varepsilon - c_{11}\eta^2}{\tilde{\alpha}_{11}\tilde{\alpha}_{22}}\right); \quad (\text{П26})$$

$$Q_1^{13} = -\frac{\rho_0}{\rho} c_{44}\varepsilon\eta c_{33}^2 (\alpha_{11} + \alpha_{22})(\tilde{\alpha}_{11} + \tilde{\alpha}_{22}) \left(d_2 + \mu_0 \frac{3}{2}\right); \quad (\text{П27})$$

$$Q_2^{13} = -\frac{\rho_0}{\rho} c_{44}\varepsilon\eta\mu_0 \left(c_{13} + \frac{c_{44}\varepsilon - c_{11}}{\alpha_{11}\alpha_{22}}\right) \times \left(c_{13} + \frac{c_{44}\varepsilon - c_{11}\eta^2}{\tilde{\alpha}_{11}\tilde{\alpha}_{22}}\right); \quad (\text{П28})$$

$$Q_3^{13} = -\frac{\rho_0}{\rho} c_{44}\varepsilon\eta \frac{\mu_0}{2} c_{33}^2 (\alpha_{11} + \alpha_{22})(\tilde{\alpha}_{11} + \tilde{\alpha}_{22}); \quad (\text{П29})$$

$$Q_0^{22} = d_1^2 \eta^2 c_{33}^2 (\alpha_{11} + \alpha_{22})(\tilde{\alpha}_{11} + \tilde{\alpha}_{22}); \quad (\text{П30})$$

$$Q_0^{23} = d_1 (d_2 + \mu_0) \eta^2 c_{33}^2 (\alpha_{11} + \alpha_{22})(\tilde{\alpha}_{11} + \tilde{\alpha}_{22}); \quad (\text{П31})$$

$$Q_2^{23} = \mu_0 d_1 \eta^2 c_{33}^2 (\alpha_{11} + \alpha_{22})(\tilde{\alpha}_{11} + \tilde{\alpha}_{22}); \quad (\text{П32})$$

$$Q_0^{33} = \eta^2 c_{33}^2 \left(d_2^2 + 2\mu_0 d_2 + \frac{3}{2} \mu_0^2\right) (\alpha_{11} + \alpha_{22})(\tilde{\alpha}_{11} + \tilde{\alpha}_{22}); \quad (\text{П33})$$

$$Q_2^{33} = 2\eta^2 c_{33}^2 \mu_0 (d_2 + \mu_0) (\alpha_{11} + \alpha_{22})(\tilde{\alpha}_{11} + \tilde{\alpha}_{22}); \quad (\text{П34})$$

$$Q_4^{33} = \eta^2 \frac{\mu_0^2}{2} c_{33}^2 (\alpha_{11} + \alpha_{22})(\tilde{\alpha}_{11} + \tilde{\alpha}_{22}); \quad (\text{П35})$$

$$Q_m^{ij} = Q_m^{ji}, \quad P_m^{ij} = P_m^{ji}. \quad (\text{П36})$$

Остальные элементы  $P_m^{ij}$  и  $Q_m^{ij}$  равны нулю.

$$Q_{22} = d_1^2 c_{33}^2 (\alpha_{11} + \alpha_{22}) \left(\sqrt{a_2 + b_2} + \sqrt{a_2 - b_2}\right); \quad (\text{П37})$$

$$Q_{33} = \left(d_2^2 + 2\mu_0 d_2 + \frac{3}{2} \mu_0^2\right) c_{33}^2 (\alpha_{11} + \alpha_{22}) \times \left(\sqrt{a_2 + b_2} + \sqrt{a_2 - b_2}\right); \quad (\text{П38})$$

$$Q_{23} = Q_{32} = d_1 (d_2 + \mu_0) c_{33}^2 (\alpha_{11} + \alpha_{22}) \times \left(\sqrt{a_2 + b_2} + \sqrt{a_2 - b_2}\right); \quad (\text{П39})$$

$$a_2 = \frac{a_1}{2} - \frac{c_{13}}{c_{33}}, \quad b_2 = \sqrt{a_2^2 - \frac{c_{11}}{c_{33}}}. \quad (\text{П40})$$

## Список литературы

- [1] Е.И. Уразаков, Л.А. Фальковский. ЖЭТФ **63**, 2297 (1972).
- [2] В.В. Крылов, В.Е. Лямов. ЖТФ **49**, 2514 (1979).
- [3] Ф.Г. Басс, И.М. Фукс. Рассеяние волн на статистически неровной поверхности. Наука, М. (1972). 424 с.
- [4] A.G. Eguluz, A.A. Maradudin. Phys. Rev. B **28**, 728 (1983).
- [5] Ю.В. Гуляев, М.А. Магомедов, Р.П. Мейланов. РЭ **6**, 1091 (1985).
- [6] В.В. Косачёв, Ю.Н. Лохов, В.Н. Чуков. ЖЭТФ **94**, 162 (1988).
- [7] V.V. Kosachev, A.V. Shchegrov. Ann. Phys. (N.Y.) **240**, 225 (1995).
- [8] C. Minton. Nondest. Test **12**, 13 (1954).
- [9] В.А. Ломакин. Теория упругости неоднородных тел. МГУ, М. (1976). 78 с.
- [10] В.П. Алёхин. Физика прочности и пластичности поверхности слоев материалов. Наука, М. (1983). 280 с.
- [11] Л.М. Бреховских. Волны в слоистых средах. Наука, М. (1973). 341 с.
- [12] И.А. Викторов. Звуковые поверхностные волны в твердых телах. Наука, М. (1981). 287 с.
- [13] A.D. Hyndman, S.B. Palmer. Ultrasonic **20**, 73 (1973).
- [14] J.M. Richardson. J. Appl. Phys. **48**, 498 (1977).
- [15] J.M. Richardson, B.R. Tittmann. J. Appl. Phys. **48**, 5111 (1977).
- [16] В.Н. Данилов, В.С. Лищиков. Акуст. журн. **31**, 323 (1985).
- [17] С.Ж. Жарылкапов, В.В. Крылов. Акуст. журн. **33**, 878 (1987).
- [18] В.Д. Харитонов. ФТТ **27**, 553 (1985).
- [19] J.A. Bucaro, L. Flax. J. Appl. Phys. **45**, 765 (1974).
- [20] И.А. Кайбичев. Акуст. журн. **32**, 688 (1986).
- [21] А.Г. Аленицын. ПММ **37**, 895 (1973).
- [22] В.Н. Чуков. ФТТ **39**, 267 (1997).
- [23] Masa-aki Narita, Tetsuro Sakuma, Tsuneyoshi Nakayama. J. Appl. Phys. **49**, 5507 (1978).
- [24] V.V. Kosachev. Proc. IV Int. Symp. on surface waves in solid and layered structures. St. Petersburg (1998). P. 107.
- [25] L. Dobrzynski, A.A. Maradudin. Phys. Rev. B **14**, 2200 (1976); Erratum. Phys. Rev. B **15**, 2432 (1977).
- [26] V.R. Velasco, O. Hardouin Duparc, B. Djafari-Rouhani. Surf. Sci. **114**, 574 (1982).
- [27] V.V. Kosachev, A.V. Shchegrov. Solid State Commun. **93**, 701 (1995).
- [28] O.L. Anderson. Phys. Acoust. B **3**, 80 (1965).